

طراحی شکل موج ارسالی رادار به منظور بالا بردن دقت تخمین تأخیر و فرکانس داپلر
هدف با معیار CRB

ابراهیم باقری^۱، کارشناسی ارشد، محمدحسین کهایی^۲، دانشیار، محمد جباریان^۳، دانشجوی دکترا، علی اصغر پهشتی شیرازی^۴، استادیار
دانشکده مهندسی برق- دانشگاه علم و صنعت ایران - تهران - ایران.

Email: e.bagheri.iust9135@gmail.com¹, kahaei@iust.ac.ir², jabbarian3110@gmail.com, abhehshti@iust.ac.ir

چکیده: در این مقاله، مسئله طراحی شکل موج به منظور تخمین پارامترهای تأخیر و داپلر هدف، بر اساس معیار CRB^۱ بررسی می‌شود. پس از به دست آوردن حدود CRB، از مدل سیگنال OFDM برای طراحی شکل موج استفاده می‌شود و با حداقل کردن این حدود دو شکل موج طراحی می‌شود. کارآئی شکل موج‌ها نیز با استفاده ازتابع ابهام متقابل (CAF)، مورد بررسی قرار گرفته و برای ارزیابی دقیق‌تر از پارامتر MF استفاده می‌شود. افزایش احتمال آشکارسازی هدف در رادار است. نتایج شبیه‌سازی نشان می‌دهد که با استفاده از شکل موج‌های طراحی شده، میزان افزایش می‌باید که این امر بیانگر کاهش پیک‌های فرعی در تابع CAF و درنتیجه افزایش احتمال آشکارسازی هدف است. واژه‌های کلیدی: طراحی شکل موج رادار، تخمین تأخیر و داپلر هدف، حد CRB پارامترهای هدف.

Radar waveform design for increasing accuracy of delay and Doppler estimation of a target based on CRB

E Bagheri¹, Msc. M. H. Kahaei², Associate professor, M. Jabbarian³, Phd. Student, A. A. Beheshti Shirazi⁴, Assistant professor

1,2,3 & 4- School of Electrical Engineering, Iran University of Science and Technology, Tehran, Iran
 Email: e.bagheri.iust9135@gmail.com¹, kahaei@iust.ac.ir², jabbarian3110@gmail.com, abeheshti@iust.ac.ir

Abstract: In this paper, we investigate the problem of waveform design to estimate the delay and Doppler parameters of a target based on the Cramer-Rao Bound (CRB). After obtaining the CRBs, the OFDM signal model is used for the waveform design and by minimizing the CRBs two waveforms are obtained. The performance of waveforms is inspected using the Cross Ambiguity Function (CAF) and the Merit Factor (MF) is used for more evaluations. The increase of the MF is equivalent to the increase of the Probability of detection (P_d) of the target. Simulation results show that using the proposed waveforms, the amount of MF increases which is equivalent to decreasing the side lobes in the CAF and increasing the P_d of targets.

Keywords: Radar waveform design, cognitive radar, estimation the delay and doppler of target, CRB for parameters of target.

تاریخ ارسال مقاله: ۱۳۹۳/۱/۶

تاریخ اصلاح مقاله: ۱۳۹۴/۰۱/۱۷ و ۹۴/۰۲/۲۳ و ۹۴/۰۵/۱۱ و ۹۴/۰۱/۱۱ و ۹۴/۰۲/۱۷

تاریخ پذیرش: مقاله: ۱۳۹۵/۰۲/۱۹

نام نویسنده مستوی: دکتر محمد حسین کهان

دانشگاه علم و صنعت تهران، دانشکده مهندسی، پردیس

بخش ۵- به معرفی معیار مقایسه یعنی تابع CAF و پارامتر MF پردازیم، سپس در بخش ۶- نتایج شبیه‌سازی و بررسی عملکرد شکل موج‌های طراحی شده و مقایسه آن با شکل موج‌های متداول [۱۵]، [۱۶] Barker، [۱۷] LFM، [۱۸] Alltop، [۱۹] SNRMax، ارائه می‌شود.

شکل موج بارکر فقط برای ۷ طول کد وجود دارد [۱۶] که بزرگ‌ترین طول آن ۱۳ است، به عنوان مثال بارکر به طول ۵ و ۱۳ در زیر آمده است:

$$B_1 = [1 \ 1 \ 1 \ -1 \ 1]^T \quad (1)$$

$$B_2 = [1 \ 1 \ 1 \ 1 \ 1 \ -1 \ -1 \ 1 \ 1]^T$$

از ویژگی‌های مناسب شکل موج بارکر، داشتن سطح پایین از پیک فرعی در تابع ابهام است ولی دارای محدودیت در طول شکل موج ارسالی است. شکل موج OGLFM نیز به صورت زیر تعریف می‌شود [۱۵]:

$$s(t) = \left(\frac{1}{\pi \lambda^2} \right)^{1/4} e^{\frac{-t^2}{2\lambda^2}} e^{j2\pi \lambda t} \quad (2)$$

پارامتری است که شکل تابع ابهام را کنترل می‌کند و λ نیز نرخ افزایش فرکانس شکل موج است. در [۱۵] نشان داده شده است که پارامترهای λ و θ برای داشتن عملکرد مناسب در تابع ابهام باید در بازه‌های $\lambda < 0.5$ و $\theta < 0.04$ (میلی ثانیه) و $3 \times 10^5 < \lambda < 3 \times 10^6$ (ثانیه/هر تر)، انتخاب شوند. برای شبیه‌سازی ما مقادیر این پارامترها را برابر $\lambda = 0.045$ و $\theta = 2 \times 10^5$ در نظر می‌گیریم. دنباله شکل موج Alltop نیز به صورت زیر است [۱۸]:

$$s(n) = \frac{1}{\sqrt{N}} \exp \left\{ j \frac{2\pi}{N} (n^3 + \lambda n) \right\}, \quad n=0, \dots, N-1 \quad (3)$$

که پارامتر $\lambda = \pm 1$ می‌تواند باشد و برای شبیه‌سازی ما مقدار $\lambda = -1$ را در نظر می‌گیریم.

شکل موج SNR Max نیز از ماتریس کواریانس نویز به دست می‌آید و پاسخ آن معادل بردار ویژه متناظر با حداقل مقدار ویژه ماتریس کواریانس نویز محیط می‌باشد که این شکل موج با معیار حداقل SNR به دست آمده است [۱۹].

۲- مدل سیگنال دریافتی

مدلی متشکل از یک فرستنده و N گیرنده (SIMO) را همانند شکل ۱، در نظر بگیرید.



شکل ۱: مدل کاتال SIMO در رادار

در این صورت می‌توان بردار سیگنال دریافتی از K هدف را به صورت زیر نمایش داد:

۱- مقدمه

طراحی شکل موج یکی از راه‌های مناسب در فرستنده برای بهبود عملکرد سیستم رادار در آشکارسازی و تخمین پارامترهای هدف است. اما معیارهای مختلفی برای طراحی شکل موج در رادار وجود دارد. به عنوان مثال در [۱]، طراحی شکل موج به منظور افزایش سیگنال به نویز و سیگنال به کلاتر انجام گرفته است. در [۲] طراحی شکل موج با معیار افزایش اطلاعات متقابل بین اکوی هدف و شکل موج ارسالی ارائه شده است. معیار مناسب دیگری که برای طراحی وجود دارد، حداکثر احتمال آشکارسازی هدف است [۴-۸]، به عنوان مثال در [۸] شکل موج به منظور حداکثر نمودن احتمال آشکارسازی در حضور کلاتر همبسته با سیگنال هدف طراحی شده است. در [۹] طراحی شکل موج در رادار باند پهن به منظور افزایش رزولوشن و قدرت تفکیک چند هدف مورد بررسی قرار گرفته است. همچنین بعد از معرفی رادار شناختگر در [۱۰]، این ایده ایجاد شد که با استفاده از اطلاعات پیشین و وجود فیدبک بین گیرنده و فرستنده، شکل موج مناسب را طراحی نمود. به عنوان مثال در [۱۱] طراحی با استفاده از اطلاعات پیشین ماتریس کواریانس نویز و با معیار BCRB ارائه شده است.

به منظور تخمین دقیق تر پارامترهای هدف مانند دامنه، زاویه، تأخیر و داپلر، می‌توان از معیار CRB استفاده نمود، بدین ترتیب که شکل موج را طوری طراحی نمود که حد CRB مربوط به پارامتری که می‌خواهیم تخمین بزنیم حداقل شود. حد CRB در واقع حداقل پارامتر موردنظر را با دقت بیشتری تخمین زد. در [۱۲] طراحی شکل موج به منظور تخمین پارامترهای خطی هدف مانند دامنه و زاویه با معیار CRB انجام شده است.

در این مقاله، طراحی شکل موج به منظور تخمین پارامترهای غیرخطی هدف مانند تأخیر و داپلر، با معیار CRB انجام می‌شود. روش سنتی برای به دست آوردن میزان تأخیر و فرکانس داپلر هدف، استفاده از رادارهای پالسی است، اما برای رسیدن به میزان دقت مناسب برای تخمین هریک از پارامترهای تأخیر و داپلر باید مصالحه‌ای صورت گیرد و تعییر میزان PRF، میزان دقت تخمین هریک از پارامترهای تأخیر و داپلر را مشخص می‌کند، به طوری که کاهش PRF، ابهام در تأخیر را کاهش و ابهام در داپلر را افزایش می‌دهد و بالعکس [۱۳]. روشهایی که برای حل این مشکل پیشنهاد شده است، استفاده از تابع CAF است [۱۴]. اما شکل موج‌هایی که در پردازش سنتی رادار پالسی مورد استفاده قرار می‌گیرند (نظیر مدولاسیون FM، شکل موج LFM و ...) برای پردازش CAF مناسب نیست، زیرا پیک‌های فرعی قابل توجه ایجاد می‌کنند پس لازم است که به منظور تخمین مناسب تأخیر و داپلر با پردازش CAF، شکل موج‌های مناسبی طراحی شود. در ادامه، ابتدا مدل سیگنال دریافتی را بیان می‌کیم. سپس در بخش ۳، به محاسبه حد CRB مربوط به پارامترهای دامنه، زاویه، تأخیر و داپلر هدف می‌پردازم و در بخش ۴، به طراحی شکل موج می‌پردازم. در

$$CRB_{\alpha} = \frac{1}{2N\gamma} \quad (11)$$

$$CRB_{\omega_k} = \frac{\sigma^2}{2N\alpha^2 \frac{1}{T} \int_0^T s(t)s^*(t) dt}$$

$$CRB_{\varphi} = \frac{\lambda^2}{8\gamma(\pi\alpha d \cos\varphi)^2} \frac{N(N-1)(2N-1)}{6}$$

که $E_s = \int_0^T s^2(t)dt$ ارزی سیگنال ارسالی است.

همان طور که مشخص است، حد CRB مربوط به پارامترهای دامنه و زاویه به شکل موج ارسالی وابسته نیست، در صورتی که حد CRB داپلر، به شکل موج وابسته است و می‌توان شکل موج مناسب را به منظور حداقل نمودن حد CRB پارامتر داپلر به دست آورد. برای محاسبه CRB مربوط به پارامتر تأخیر هدف و اینکه بتوانیم نسبت به پارامتر تأخیر τ در رابطه (۹) مشتق بگیریم، تبدیل فوریه بردار $\mathbf{h}(\theta_k, t)$ را در رابطه (۹) جایگذاری می‌نماییم.

$$I_\tau(\theta_k) = \frac{2}{\sigma^2} \operatorname{Re} \left\{ E \left[\left(\frac{\partial \mathbf{h}^f(\theta_k, t)}{\partial \tau_k} \right)^H \left(\frac{\partial \mathbf{h}^f(\theta_k, t)}{\partial \tau_k} \right) \right] \right\} \quad (12)$$

که در آن داریم:

$$\mathbf{h}^f(\theta_k, t) = F \{ \mathbf{h}(\theta_k, t) \} = \alpha_k \mathbf{a}(\varphi_k) e^{-j2\pi(f - f_{\tau_k})t} s(f - f_{\tau_k})$$

که بردار $\mathbf{a}(\varphi_k)$ در رابطه (۵) معرفی شده است. با قرار دادن (۱۲) در (۱۲)، حد CRB مربوط به پارامتر تأخیر هدف، به صورت زیر به دست خواهد آمد:

$$CRB_\tau = \frac{\sigma^2}{8N\pi^2\alpha^2 \int_{-\infty}^{\infty} f^2 S(f) S^*(f) df} \quad (14)$$

که البته مزدوج های پارامتر تأخیر با سایر پارامترها با فرض حقیقی بودن سیگنال ارسالی صفر می‌شوند. یکی از ویژگی های مهم استفاده از CRB این است که به کمک آن می‌توان عوامل تاثیرگذار در تخمین پارامتر را شناسایی نمود. در حالت کلی کم شدن حد CRB هر پارامتر، معادل بهبود تخمین آن پارامتر است.

۴- طراحی شکل موج به منظور تخمین پارامترهای داپلر و تأخیر به دلیل خصوصیات مناسب سیگنال OFDM، از قبیل متعامد بودن پالس های آن در حوزه زمان و پیاده سازی راحت آن با الگوریتم FFT، شکل موج ارسالی را به صورت OFDM در نظر می‌گیریم [۲۱]:

$$\mathbf{y}(t) = \sum_{k=1}^K \alpha_k \mathbf{a}(\varphi_k) e^{j\omega_{\theta_k} t} s(t - \tau_k) + \mathbf{w}(t), |t| < \frac{T}{2} \quad (4)$$

که $\varphi_k, \alpha_k, \tau_k$ به ترتیب بیانگر دامنه دریافتی، فرکانس زاویه ای داپلر، تأخیر دریافتی و زاویه ورودی مربوط به kامین هدف و سیگنال ارسالی با پهنای پالس T هستند. $\mathbf{w}(t)$ بردار نویز گوسی سفید کانال، (t) $\mathbf{y}(t)$ بردار دریافتی و $\mathbf{a}(\varphi_k)$ بردار جهتی هدف kام به صورت زیر تعریف می‌شوند:

$$\mathbf{y}(t) = [y_1(t), \dots, y_N(t)]^T$$

$$\mathbf{a}(\varphi) = [1, e^{\frac{j2\pi f \sin\varphi}{\lambda}}, \dots, e^{\frac{j2\pi f (N-1) \sin\varphi}{\lambda}}]^T$$

$$\mathbf{w}(t) = [w_1(t), \dots, w_N(t)]^T$$

که d فاصله بین عناصر آتنن ها در گیرنده و λ طول موج فرکانس حامل سیگنال ارسالی است. $w_i(t), y_i(t)$ به ترتیب سیگنال دریافتی و نویز در لحظه i t در نامین آتنن گیرنده می‌باشند.

-۳- محاسبه حد CRB مربوط به پارامترهای هدف

مسئله به دست آوردن حد CRB پارامترهای هدف، در مقالات مختلف و با مدل های متفاوت بررسی شده است [۲۶، ۲۷]. در این مقاله حد CRB پارامترهای هدف با مدل یک فرستنده و چند گیرنده و نویز گوسی سفید به دست آورده می‌شود.

پارامترهای هدف را به صورت زیر در نظر بگیرید:

$$\boldsymbol{\theta} = [\alpha, \omega_{\theta_k}, \varphi, \tau]^T \quad (5)$$

در ادامه برای به دست آوردن حد CRB پارامترهای مجھول، ابتدا ماتریس اطلاعات فیشر محاسبه می‌شود. مدل پیشنهادی در رابطه (۴) را می‌توان به صورت کلی زیر نمایش داد:

$$\mathbf{y}(t) = \mathbf{h}(\theta_k, t) + \mathbf{w}(t) \quad (7)$$

که $\mathbf{h}(\theta_k, t)$ بردار در برگیرنده مجھولات مربوط به kامین هدف، به-

صورت زیر است:

$$\mathbf{h}(\theta_k, t) = [h_1(\theta_k, t), h_2(\theta_k, t), \dots, h_N(\theta_k, t)]^T \quad (8)$$

$$h_i(\theta_k, t) = \alpha_k e^{j2\pi f_i t} e^{j\omega_{\theta_k} t} s(t - \tau_k) \quad i=1, \dots, N$$

با توجه به رابطه (۸)، زنایمن عنصر از ماتریس اطلاعات فیشر

به صورت زیر محاسبه می‌شود [۱۵]:

$$[\mathbf{I}(\theta_k)]_{ij} = \frac{2}{\sigma^2} \operatorname{Re} \left\{ E \left[\left(\frac{\partial \mathbf{h}(\theta_k, t)}{\partial \theta_{kj}} \right)^H \left(\frac{\partial \mathbf{h}(\theta_k, t)}{\partial \theta_{ki}} \right) \right] \right\} \quad (9)$$

که \mathbf{I}^H واریانس نویز محیط، $\operatorname{Re}(\cdot)$ بیانگر قسمت حقیقی و $[\cdot]$ بیانگر مزدوج ترانهاده است.

با جایگذاری (۸) در (۹) درایمهای ماتریس اطلاعات فیشر به دست می‌آیند، با انجام کمی محاسبات ملاحظه می‌شود تمام درایمهای غیر از قطر اصلی در ماتریس فیشر، صفر هستند، زیرا این درایمهای قسمت حقیقی ندارند و درنهایت ماتریس CRB مربوط به پارامترهای موجود در رابطه (۶)، با معکوس نمودن ماتریس فیشر به دست می‌آید.

$$\mathbf{C}^{CRB}(\theta_k) = \mathbf{I}^{-1}(\theta_k) \quad (10)$$

۲-۴ - حداقل نمودن حد CRB پارامتر تأخیر

مسئله حداقل نمودن حد CRB پارامتر تأخیر در رابطه (۱۴)، معادل مسئله زیر می باشد:

$$\arg \max_s \left\{ \int_0^T f^2 S(f) S^*(f) df \right\} = \quad (21)$$

$$\arg \max_s \left\{ \sum_{p=1}^P p^2 S(p) S^*(p) \right\}$$

که $S(p)$ ، $p=1:\Delta p:P$ ، نمونه های گسته فرکانسی می باشند. یعنی از طیف فرکانسی سیگنال به فاصله فرکانسی Δp تا ماکریم فرکانس P نمونه برداری می نماییم. نمونه های گسته فرکانسی، با استفاده از تبدیل فوریه گسته و به صورت زیر، از روی نمونه های زمانی آن محاسبه می شوند:

$$S(p) = \sum_{n=1}^{N_s} s(n) e^{-j \frac{2\pi}{N_s} pn} \quad p=1:\Delta p:P \quad (22)$$

$$S(p) = \sum_{n=1}^{N_s} s(n) e^{-j \frac{2\pi}{N_s} pn} \quad p=1:\Delta p:P$$

با تعریف بردار ستونی $\mathbf{e}_p = \left\{ e^{-j \frac{2\pi}{N_s} pn} \right\}_{n=1}^{N_s}$ و بردار شکل موج حوزه زمان $\mathbf{s} = [s(1), s(2), \dots, s(N_s)]^T$ ، رابطه (۲۲) را به صورت زیر بیان می کنیم:

$$S(p) = \mathbf{s}^T \mathbf{e}_p \quad (23)$$

با جایگذاری رابطه (۲۳) در (۲۱) داریم:

$$\arg \max_s \left\{ \sum_{p=1}^P p^2 \mathbf{s}^T \mathbf{e}_p \mathbf{e}_p^H \mathbf{s} \right\} = \quad (24)$$

$$\arg \max_s \left\{ \mathbf{s}^T \mathbf{E}_p \mathbf{s} \right\}$$

که $\mathbf{E}_p = \sum_{p=1}^P p^2 \mathbf{e}_p \mathbf{e}_p^H$ بوده و پاسخ مسئله فوق به صورت زیر می باشد:

$$\mathbf{s}^* = \mathbf{v}_{\max}(\mathbf{E}_p) \quad (25)$$

و $\{\mathbf{s}^*\} = \mathbf{r}^*$ خواهد بود.

با مقایسه دو شکل موج طراحی شده، ملاحظه می شود که تابع هزینه آنها به نوعی تابع خودهمبستگی شکل موج ارسالی می باشد و هدف حداقل نمودن تابع خودهمبستگی سیگنال ارسالی است زیرا این کار باعث بهبود عملکرد فیلتر دو بعدی CAF می شود.

مهم ترین خاصیت شکل موج مناسب، تیز بودن خروجی تابع CAF در فضای تأخیر، داپلر می باشد که در بخش ۶، این موضوع بررسی شده است. ساختار پردازش طراحی شکل موج و ارسال و دریافت رامی توان به صورت شکل ۲ و به صورت رادار Bi-statics (دوپایه) که فرستنده و گیرنده از هم مستقل هستند، در نظر گرفت.

$$s(t) = \operatorname{Re} \left\{ \sum_{m=1}^M r(m) e^{j \frac{2\pi}{T} mt} q(t) \right\} \quad (15)$$

$$q(t) = \begin{cases} 1 & t \in [0, T] \\ 0 & \text{o.w} \end{cases}$$

که فرکانس حامل m برابر $\frac{m}{T}$ بوده که T عرض کل پالس ارسالی و M تعداد کل زیر حاملها است. (m) مشخص کننده دامنه و فاز زیر حامل m می باشد. در این صورت، فاصله زیر حاملها برای تعادل پالس ها در حوزه زمان برابر $\frac{1}{T}$ خواهد بود. اگر از سیگنال $t_n = nT_s$ ، $n=1,2,\dots,N_s$ و در زمان های $T_s = \frac{T}{N_s}$ فرمت گسته سیگنال OFDM فوق، به صورت زیر خواهد شد (با توجه به (۱۵)، بعد از طراحی شکل موج، قسمت حقیقی آن برداشته خواهد شد):

$$s(n) = \sum_{m=1}^M r(m) e^{j \frac{2\pi nm}{N_s}} \quad n=1,2,\dots,N_s \quad (16)$$

رابطه (۱۶) را می توان به صورت برداری زیر بیان نمود:

$$\mathbf{s}(n) = \mathbf{r}^T \mathbf{e}_n \quad (17)$$

$$\mathbf{r} = [r(1), r(2), \dots, r(M)]^T$$

$$\mathbf{e}_n = \left\{ e^{j \frac{2\pi nm}{N_s}} \right\}_{m=1}^M$$

در ادامه، هدف به دست آوردن بردار \mathbf{r} است که بیانگر میزان دامنه و فاز تمام زیر حاملها می باشد، به طوری که حد CRB پارامترهای داپلر و تأخیر حداقل شود. بعد از به دست آوردن بردار \mathbf{r} ، با توجه به رابطه (۱۶)، با گرفتن IFFT به سیگنال OFDM مطلوب خواهیم رسید.

۱-۴ - حداقل نمودن حد CRB پارامتر داپلر

حداقل شدن حد CRB پارامتر داپلر در رابطه (۱۱) معادل مسئله زیر می باشد:

$$\arg \max_{s(t)} \left\{ \int_0^T t^2 s(t) s^*(t) dt \right\} = \quad (18)$$

$$\arg \max_{s(n)} \left\{ \sum_{n=1}^{N_s} n^2 s(n) s^*(n) \right\}$$

که N_s تعداد نمونه های گسته زمانی سیگنال ارسالی است. با جایگذاری رابطه (۱۷) در (۱۸)، مسئله زیر را خواهیم داشت:

$$\arg \max_r \left\{ \sum_{n=1}^{N_s} n^2 \mathbf{r}^T \mathbf{e}_n \mathbf{e}_n^H \mathbf{r} \right\} = \quad (19)$$

$$\arg \max_r \left\{ \mathbf{r}^T \mathbf{E}_n \mathbf{r} \right\}$$

که در رابطه فوق ماتریس $\mathbf{E}_n = \sum_{n=1}^{N_s} n^2 \mathbf{e}_n \mathbf{e}_n^H$ بوده و پاسخ مسئله فوق، به صورت زیر است:

$$\mathbf{r}^{W_d} = \mathbf{v}_{\max}(\mathbf{E}_n) \quad (20)$$

که $(.) \mathbf{v}_{\max}$ بیانگر بردار ویژه متناسب با حداقل مقدار ویژه است.

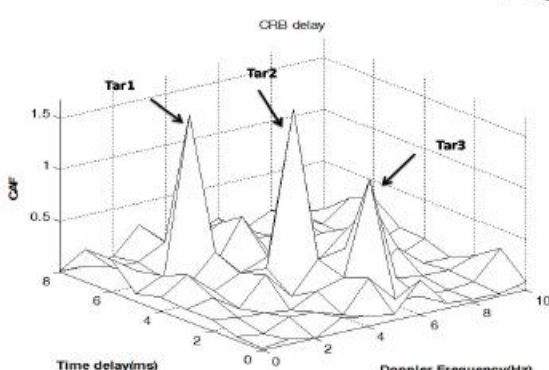
اصلی می‌گوییم و البته در سلول‌های تأخیر و داپلر (غیر از هدف) نیز امکان دارد که پیک‌هایی به وجود بیاید که به آن پیک‌های فرعی می‌گوییم. منظور از دقت تخمین تأخیر و داپلر هدف این است که سطح پیک اصلی به حداقل و سطح پیک‌های فرعی به حداقل مقدار خود برسند. برای بررسی عملکرد و مقایسه شکل‌موج‌ها از معیار MF^{۱۰} استفاده می‌نماییم که برای هر دو بعد تأخیر و داپلر به صورت زیر تعریف می‌شود [۱۶]:

$$MF = \frac{\sum_{k=1}^K A^2(m_k, p_k)}{\sum_{\substack{m=0 \\ m \neq m_k}}^M \sum_{\substack{p=0 \\ p \neq p_k}}^P A^2(m, p)} \quad (۲۸)$$

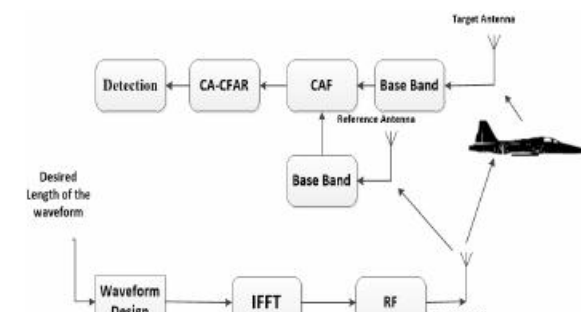
که m_k, p_k به ترتیب سلول تأخیر و داپلر مربوط به هدف k ام می‌باشند، P و M به ترتیب تعداد کل سلول‌های داپلر و تأخیر در محاسبه CAF می‌باشند. رابطه (۲۸) درواقع بیانگر نسبت مجموع انرژی‌های پیک‌های اصلی اهداف به مجموع انرژی‌های پیک‌های فرعی درتابع CAF بوده و هرچه مقدار آن بیشتر باشد، باعث بهبود عملکرد سیستم و آشکارسازی اهداف در رادار خواهد شد.

۶- نتایج شبیه‌سازی

در این قسمت، عملکرد هر شکل‌موج را از نظر دقیق تخمین در هر دو بعد زمان و فرکانس برای تخمین توان تأخیر و فرکانس داپلر هدف بررسی می‌نماییم. زمان کل پالس ارسالی برابر ۲۰ میلی‌ثانیه و تعداد نمونه‌های ارسالی برای هر سیگنال (N_s) نیز برابر ۲۰، در نظر گرفته شده است و انرژی تمام شکل‌موج‌ها، واحد است. همچنین برای شکل‌موج CRB^{۱۱}، حداقل نمونه فرکانسی (D) را برابر ۱۱ و فاصله نمونه برداری delay، فرکانسی را $\Delta f = 0.123$ در نظر گرفته‌ایم (با توجه به رابطه (۲۲)). برای شبیه‌سازی سه هدف با دامنه‌های مختلف را در صفحه تأخیر، داپلر و در مختصات‌های $(2, 6)$ ، $(4, 5)$ و $(6, 3)$ در نظر گرفته‌ایم که (f_d ، f_t) بیانگر مختصات مربوط به تأخیر (برحسب میلی‌ثانیه) و داپلر (برحسب هرتو) هدف مورد نظر می‌باشد. خروجی دو بعدی رابطه (۲۶) برای شکل‌موج‌های ۱۳ CRB-Doppler، CRB-delay، Barker، OGLFM، Alltop و SNRMax، LFM به ازای SNR برابر ۲۰ دسی‌بل در شکل‌های ۳-۹ آمده است.



شکل ۳: خروجی CAF به ازای شکل‌موج



شکل ۲: دیاگرام نحوه پردازش و طراحی شکل‌موج در رادار دوپلر

با توجه به شکل ۲، دو آتن در گیرنده مورد استفاده قرار می‌گیرد، یکی آتن مرتع که یک نسخه از سیگنال ارسالی را دریافت می‌کند و دیگری آتن هدف که اکوی هدف را دریافت می‌کند. بعد از برگرداندن به باند پایه، خروجی دو آتن برای مشخص کردن تأخیر و داپلر هدف به بلوک CAF می‌روند و بعد اطلاعات خروجی به CAF به بلوک CA-CFAR برای آشکارسازی ارسال می‌شود [۲۲]. در اینجا فرض می‌کنیم که سیگنال فرستنده که به آن DPI گفته می‌شود به آتن هدف نمی‌رسد که در عمل این گونه نیست و می‌توان با روش‌های همانند استفاده از فیلترهای وفقی [۲۳] و یا الگوریتم ECA^{۱۲} [۲۴] این سیگنال را از آتن هدف حذف نمود.

در بخش بعد به بررسی عملکرد شکل‌موج‌های طراحی شده CRB delay در (۲۵) و CRB doppler در (۲۰) می‌پردازیم.

۵- معرفی معیار مقایسه

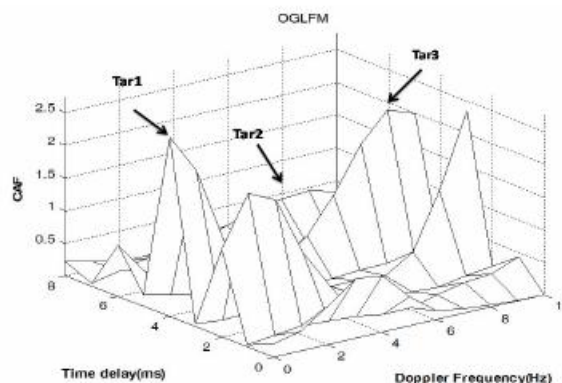
تابع ابهام متقابل (CAF) تابعی است که مشخص کننده میزان تغییک‌پذیری (پهنای پیک اصلی در تابع CAF) شکل‌موج و دقیق تخمین آن (افزایش دامنه پیک اصلی هدف و کاهش پیک‌های فرعی هدف در تابع CAF)، در فضای تأخیر، داپلر است که در سیستم‌های رادار Bi_Statics به منظور آشکارسازی تأخیر و داپلر هدف به کار می‌رود و به صورت زیر تعریف می‌شود [۱۴]:

$$|A(\tau, f)|^2 = \left| \int_{-\infty}^{\infty} y(t)s^*(t-\tau)\exp(j2\pi ft)dt \right|^2 \quad (۲۶)$$

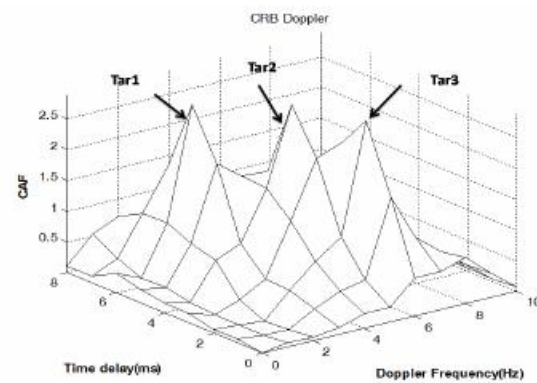
که $s(t)$ شکل‌موج ارسالی (سیگنال مرتع)، $y(t)$ سیگنال دریافتی از هدف، τ و f به ترتیب بیانگر تأخیر و داپلر می‌باشند. رابطه (۲۶) را می‌توان به صورت زمان گسسته نمایش داد:

$$A(m, p) = \sum_{n=0}^{N_s-1} y(n)s^*(n-m)\exp(j2\pi pn) \quad (۲۷)$$

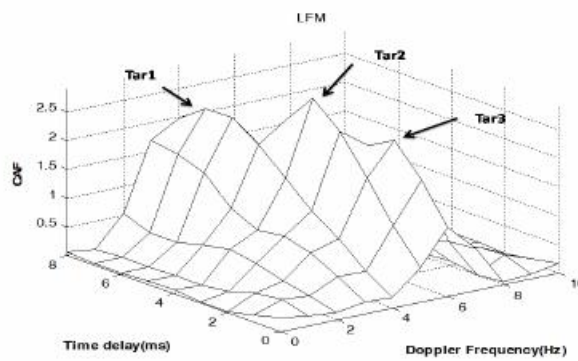
که N_s تعداد نمونه‌های گسسته زمانی در هر پالس ارسالی است و $A(m, p)$ خروجی تابع CAF در امین سلول تأخیر و امین سلول داپلر است. همان‌طور که مشخص است، تابع ابهام متقابل تابعی دو متغیری از دو فضای تأخیر (فاصله) و داپلر (سرعت) می‌باشد. این تابع درواقع به ازای تمام زمان‌ها، همبستگی سیگنال ارسالی و سیگنال دریافتی از هدف را محاسبه می‌کند و خروجی تابع در محل تأخیر و داپلر هدف پیک می‌زند و مقدار حداقل را پیدا می‌کند که به آن پیک



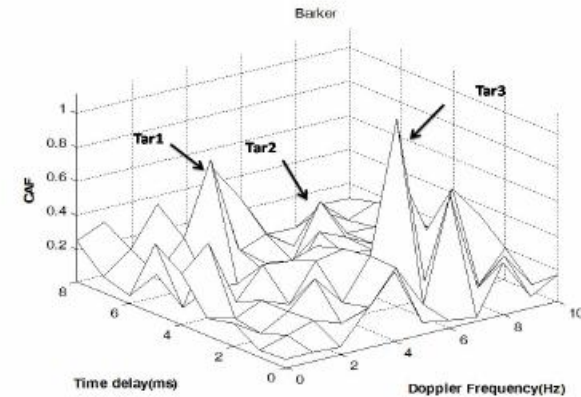
شکل ۸: خروجی CAF به ازای شکل موج OGLFM



شکل ۴: خروجی CAF به ازای شکل موج CRB Doppler



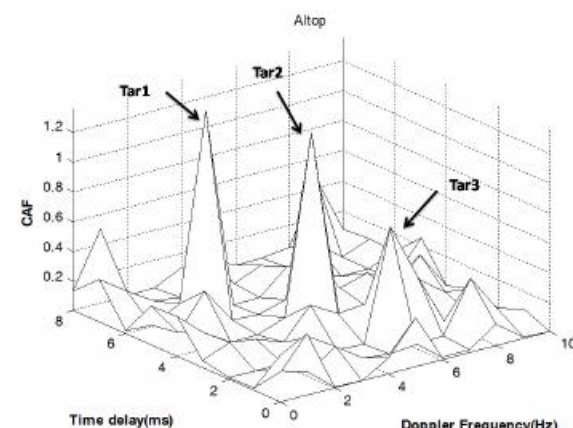
شکل ۹: خروجی CAF به ازای شکل موج LFM



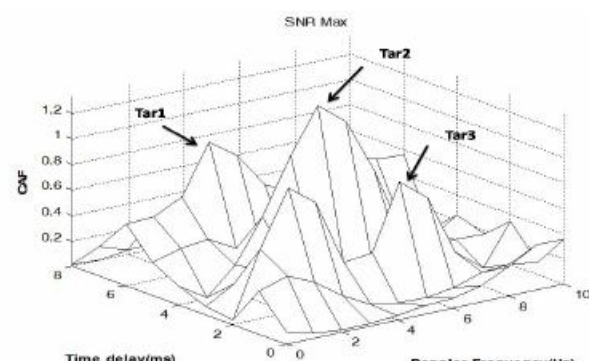
شکل ۵: خروجی CAF به ازای شکل موج Barker

با بررسی شکل های ۳-۹، ملاحظه می شود که علاوه بر سلول های اهداف در نظر گرفته شده که با فالش مشخص شده اند (پیک های اصلی)، در سلول های دیگر نیز پیک هایی به وجود می آید (پیک های فرعی). هرچه سطح پیک های اصلی بیشتر و سطح پیک های فرعی کمتر باشد، نشان دهنده قدرت تخمین شکل موج مورد نظر در فضای تأخیر، داپلر بوده و این به خصوصیات شکل موج بستگی دارد. یکی از ویژگی های مهمی که یک شکل موج مناسب باید داشته باشد، تیز و باریک بودن^{۱۲} در خروجی CAF است. به عنوان مثال شکل ۳ یا شکل ۶ را در نظر بگیرید، مشخص است که شکل موج های CRB delay و Alltop دارای این خصوصیت می باشند، در حالی که مثلاً شکل موج LFM در شکل ۹، این خصوصیت را نداشته و دارای پیک پهن است که این برای پردازش CAF مناسب نبوده و باعث افزایش هشدار غلط در آشکارسازی خواهد شد.

برای بررسی دقیق تر نمودار مقادیر Merit Factor بر حسب های مختلف برای شکل موج های مورد بحث، در شکل ۱۰ رسم شده است.



شکل ۶: خروجی CAF به ازای شکل موج Alltop

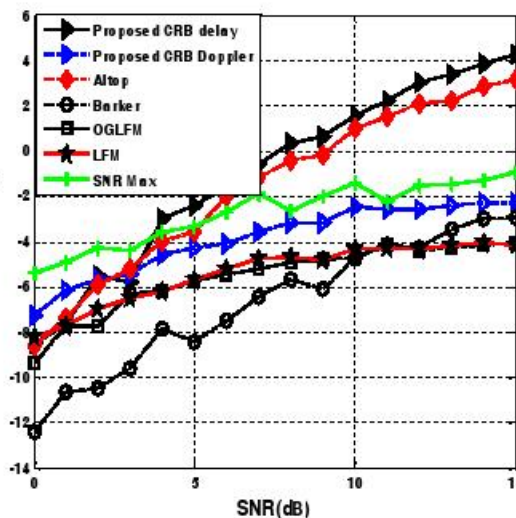


شکل ۷: خروجی CAF به ازای شکل موج SNR Max

آشکارسازی اهداف خواهیم بود (مقادیر MF مثبت می‌شود). از مزایای مهم روش ارائه شده برای طراحی شکل موج، نداشتن محدودیت برای طول شکل موج ارسالی است.

مراجع

- [1] J. R. Guerci, "Cognitive radar: a knowledge-aided fully adaptive approach," in *Radar Conference, 2010 IEEE*, pp. 1365-137, 2010.
- [2] Y. Yang and R. S. Blum, "MIMO radar waveform design based on mutual information and minimum mean-square error estimation," *Aerospace and Electronic Systems, IEEE Transactions on*, vol. 43, no. 1, pp. 330-345, 2007.
- [3] S. Haykin, Y. Xue, and T. N. Davidson, "Optimal waveform design for cognitive radar," in *Signals, Systems and Computers, 2008 42nd Asilomar Conference on*, pp. 3-7, 2008.
- [4] M. Teitel and J. Tabnikian, "Waveform design for sequential detection with subspace interference," in *Sensor Array and Multichannel Signal Processing Workshop (SAM), 2012 IEEE 7th*, pp. 401-404, 2012.
- [5] S. Sen and C. W. Glover, "Optimal multicarrier phase-coded waveform design for detection of extended targets," in *Radar Conference (RADAR), 2013 IEEE*, pp. 1-6, 2013.
- [6] S. P. Sira, D. Cochran, A. Papandreou-Suppappola, D. Morrell, W. Moran, S. D. Howard, et al., "Adaptive waveform design for improved detection of low-RCS targets in heavy sea clutter," *Selected Topics in Signal Processing, IEEE Journal of* vol. 1, pp. 56-66, 2007.
- [7] Y. Wei, H. Meng, Y. Liu, and X. Wang, "Radar phase-modulated waveform design for extended target detection," *Tsinghua Science & Technology*, vol. 16, no. 4, pp. 364-370, 2011.
- [8] X. Deng, C. Qiu, Z. Cao, M. Morelande, and B. Moran, "Waveform design for enhanced detection of extended target in signal-dependent interference," *IET Radar, Sonar & Navigation*, vol. 6, no. 1, pp. 30-38, 2012.
- [9] B. Jiu, H. Liu, B. Chen, and Z. Liu, "Waveform design for wideband radar target recognition based on eigensubspace projection," *Radar, Sonar & Navigation, IET*, vol. 7, no. 6, pp. 702-709, 2013.
- [10] S. Haykin, "Cognitive radar: a way of the future," *Signal Processing Magazine, IEEE*, vol. 23, no. 1, pp. 30-40, 2006.
- [11] W. Huleihel, J. Tabrikian, and R. Shavit, "Optimal adaptive waveform design for cognitive MIMO radar," *IEEE Transactions on Signal Processing*, vol. 61, no. 20, pp. 5075 - 5089, 2013.
- [12] J. Li, L. Xu, P. Stoica, K. W. Forsythe, and D. W. Bliss, "Range compression and waveform optimization for MIMO radar: a Cramer–Rao bound based study," *Signal Processing, IEEE Transactions on*, vol. 56, no. 1, pp. 218-232, 2008.
- [13] M. Skolnik, "Introduction to radar system," *McGraw-Hill*, 2002.
- [14] M. Cherniakov, *Bistatic Radars: Emerging Technology*. John Wiley & Sons, 2008.



شکل ۱۰: مقایسه مقادیر SNR بر حسب MF برای شکل موج‌های مختلف

با توجه به شکل ۱۰، ملاحظه می‌شود که شکل موج طراحی شده delay و بعد از آن، بهترین عملکرد را در کاهش پیکهای فرعی (افزایش مقادیر MF) دارد، ولی شکل موج CRB delay از بقیه عملکرد بهتری دارد، زیرا همان طور که قبلاً اشاره شد این شکل موج تابع خودهمبستگی را در حوزه فرکانس حداکثر می‌کند. با توجه به اینکه شکل موج‌های طراحی شده OFDM می‌باشند، در حوزه زمان سیگنال‌های هر زیرحامن با یکدیگر متعامندند (به دلیل فاصله فرکانسی $\Delta f = \frac{1}{T}$) ولی در حوزه فرکانس همپوشانی دارند [۲۱] و چون تابع CAF به محاسبه همبستگی در هر دو حوزه زمان و فرکانس می‌پردازد، این همپوشانی باعث به وجود آمدن پیکهای ناخواسته در بعد فرکانس می‌شود و شکل موج CRB delay با حداکثر نمودن پیکهای خودهمبستگی در بعد فرکانس، باعث کاهش اثر پیکهای فرعی در این بعد می‌شود.

۷- نتیجه‌گیری

در این مقاله مسئله طراحی شکل موج برای تخمین پارامترهای تأخیر و فرکانس داپلر هدف با معیار CRB را بررسی نمودیم. ابتدا حد CRB پارامترهای دامنه، زاویه، تأخیر و فرکانس داپلر هدف را با مدل SIMO به دست آوردیم و نشان دادیم که حد CRB پارامترهای دامنه و زاویه به شکل موج ارسالی وابسته نیستند ولی حد CRB پارامترهای تأخیر و فرکانس داپلر به شکل موج ارسالی وابسته است. سپس با مدل نمودن شکل موج ارسالی به صورت سیگنال OFDM، شکل موج مناسب را برای حداقل نمودن حد CRB پارامترهای تأخیر و داپلر هدف به دست آوردیم. برای ارزیابی عملکرد، از تابع CAF و معیار MF استفاده نمودیم و نشان دادیم که با استفاده از شکل موج‌های طراحی شده، مقادیر MF که رابطه مستقیم با احتمال آشکارسازی اهداف دارند، تقریباً به اندازه ۱ دسی بل نسبت به Alltop افزایش می‌یابد و با شکل موج پیشنهادی، به ازای حداقل SNR برابر ۷ دسی بل، قادر به

^{۱۰} Merit Factor
^{۱۱} Thumbtack

- [15] L. Wang, H. Wang, Y. Cheng, Y. Qin, and P. V. Brennan, "Adaptive waveform design for maximizing resolvability of targets," in *Digital Signal Processing (DSP), 2013 18th International Conference on*, pp. 1-6, 2013.
- [16] A. NagaJyothi and K. R. Rajeswari, "Generation and Implementation of Barker and Nested Binary codes," *Journal of Electrical and Electronics Engineering*, vol. 8, no. 2, pp. 33-41, 2013.
- [17] B. R. Mahafza and A. Elsherbeni, *MATLAB simulations for radar systems design*: CRC press, 2003.
- [18] W. O. Alltop, "Complex sequences with low periodic correlations," *IEEE Transactions on Information Theory*, vol. 26, no. 3, pp. 350-354, 1980.
- [19] L. Patton, S. Frost, and B. Rigling, "Efficient design of radar waveforms for optimised detection in coloured noise," *IET Radar, Sonar & Navigation*, vol. 6, no. 1, pp. 21-29, 2012.
- [20] S. M. Kay, *Fundamentals of Statistical Signal Processing Volume III: Practical Algorithm Development* vol. 3: Pearson Education, 2013.
- [21] J. G. Proakis, M. Salehi, N. Zhou, and X. Li, *Communication systems engineering*, vol. 2: Prentice-hall Englewood Cliffs, 1994.
- [22] M. A. Richards, *Fundamentals of radar signal processing*, Tata McGraw-Hill Education, 2005.
- [23] J. E. Palmer and S. J. Searle, "Evaluation of adaptive filter algorithms for clutter cancellation in passive bistatic radar," in *Radar Conference (RADAR), 2012 IEEE*, pp. 0493-0498, 2012.
- [24] F. Colone, D. Ohagan, P. Lombardo, and C. Baker, "A multistage processing algorithm for disturbance removal and target detection in passive bistatic radar," *Aerospace and Electronic Systems, IEEE Transactions on*, vol. 45, no. 2, pp. 698-722, 2009.
- [25] S. Sen, "Adaptive OFDM radar waveform design for improved micro-doppler estimation," *IEEE Sensor Journal*, vol. 14, no. 10, pp. 3548-3556, 2014.
- [26] A. Dogandzic, A. Noherai, "Cramer-Rao Bound for estimating range, velocity and direction with an active array," *IEEE Transaction on signal processing*, vol. 49, no. 6, pp. 1122-1137, 2001.
- [27] Y. Fu, Z. Tian, "Cramer-Rao Bounds for hybrid TOA/DOA-based location estimation in sensor networks," *IEEE signal processing letters*, vol. 16, no. 8, pp. 655-658, 2009.

زیرنویس‌ها

-
- ^{۱۲} Cramer-Rao Bound
 - ^{۱۳} Cross Ambiguity Function
 - ^{۱۴} Merit Factor
 - ^{۱۵} Bayesian Cramer-Rao Bound
 - ^{۱۶} Pulse Repetition Frequency
 - ^{۱۷} Optimized Gaussian LFM
 - ^{۱۸} Single Input Multiple Output
 - ^{۱۹} Cell Averaging-Constant False Alarm Rate
 - ^{۲۰} Direct Path Interference
 - ^{۲۱} Extensive Cancellation Algorithm